

## استقرار سیستم مدیریت مصرف انرژی در یک نمونه بیورآکتور لجن فعال تصفیه خانه فاضلاب

<sup>۱</sup> رضا فتاحی \* ، <sup>۲</sup> یونس نوراللهی

### چکیده

سهم مصرف انرژی الکتریکی تصفیهخانه‌های فاضلاب جهان در حدود ۳٪ از کل مصرف انرژی جهان و نیز سهم مصرف انرژی واحد هوادهی بیورآکتور تصفیهخانه فاضلاب لجن فعال در حدود ۵۵٪ از کل مصرف تأسیسات می‌باشد، بر این اساس کاهش در سهم مصرف انرژی سیستم هوادهی می‌تواند اقدام مؤثری در کنترل میزان مصرف انرژی و هزینه‌های مرتبط با آن باشد. بهبود در مصرف انرژی بیورآکتور لجن فعال تصفیهخانه فاضلاب از طریق استقرار سیستم مدیریت مصرف انرژی میسر می‌شود. در این مقاله با بکارگیری مدل نرم‌افزاری

تاریخ دریافت:  
۱۳۹۷/۹/۲۰

تاریخ پذیرش:  
۱۳۹۹/۳/۶

### کلمات کلیدی:

تصفیهخانه فاضلاب لجن فعال، سیستم مدیریت مصرف انرژی، بیورآکتور لجن فعال، راندمان اکسیژن دهنده استاندارد (SAE) kgO<sub>2</sub>/kWh<sub>۵/۲</sub> kgO<sub>2</sub>/kWh تا حدود ۳۷/۱ می‌گردد. مطابق نتایج حاصل از بررسی نمونه مطالعاتی در صورت استقرار سیستم مدیریت انرژی در تصفیهخانه‌های فاضلاب کشور به عنوان یک روش مؤثر، پتانسیل کاهش مصرف انرژی در حدود ۳۷ میلیون کیلووات ساعت سالیانه معادل ۱۲ صرفه‌جوئی میلیون متر مکعب در مصرف گاز طبیعی و عدم انتشار ۹۴۰۰ تن گاز گلخانه‌ای دور از دسترس نیست.

تصفیهخانه فاضلاب لجن  
فال، سیستم مدیریت  
صرف انرژی، بیورآکتور  
لجن فعال، راندمان  
اکسیژن دهنده استاندارد

(SAE)

۱. کارشناس ارشد مهندسی سیستم‌های انرژی و ریاست گروه توسعه طرح‌های بهره‌وری انرژی و اصلاح الگوی مصرف سازمان انرژی‌های تجدیدپذیر و بهره‌وری انرژی برق (ساتبا). (نویسنده مسئول)  
r.fattahi75@yahoo.com

۲. مدیریت گروه انرژی‌های نو و محیط زیست دانشکده علوم و فنون نوین دانشگاه تهران  
Noorollahi@ut.ac.ir

## ۱. مقدمه

امکان‌پذیر نمودن استفاده مجدد از پساب حاصل از فرآیند تصفیه فاضلاب در یک فعالیت شهری یا صنعتی، علاوه بر کاهش اثرات منفی زیست محیطی تخلیه فاضلاب به محیط، می‌تواند به عنوان یک منبع پایدار تأمین مجدد آب را به چرخه بازگردد [۴].

مطابق مطالعات انجام پذیرفته توسط US EPA تا سال ۲۰۲۰ سهم مصرف انرژی تصفیه‌خانه‌های فاضلاب جهان تا حدود ۲۰٪ افزایش خواهد داشت، از نقطه‌نظر انرژی‌بری نیز تأسیسات تصفیه فاضلاب کره زمین بیش از ۱٪ کل مصرف انرژی جهان را به خود اختصاص می‌دهند (تشیعی و محمد قاسمی، ۱۳۹۵). هرچند که بر اساس برآوردهای دیگر مصرف انرژی الکتریکی تصفیه‌خانه‌های فاضلاب در حدود ۲٪ تا ۴٪ ارزیابی می‌شود [۱۳]. بر اساس گزارش مشابه ارائه شده از موسسه تحقیقاتی برق (EPRI) مصرف انرژی الکتریکی تصفیه‌خانه‌های آب و فاضلاب ایالات متحده آمریکا نیز در حدود ۳٪ کل مصرف انرژی الکتریکی آن کشور معادل ۷۵ میلیارد کیلووات ساعت می‌باشد [۱۳]. بر اساس بررسی‌های انجام شده بر روی اطلاعات سال ۹۷ شرکت‌های آب و فاضلاب شهری در سال ۹۷، میزان مصرف انرژی در تأسیسات تصفیه، انتقال و توزیع آب و نیز جمع‌آوری، انتقال و تصفیه فاضلاب شهری ایران در حدود ۴۹۲۰ میلیون کیلو وات ساعت برآورد شده است، همچنین مطابق با اطلاعات فوق‌الذکر، سهم مصرف انرژی در تأسیسات تصفیه فاضلاب در حدود ۴/۹٪ و بالغ بر ۲۴۱ میلیون کیلو وات ساعت ارزیابی گردیده است [۱]. دلایل مذکور اهمیت ارزیابی مصرف انرژی در تصفیه‌خانه‌های فاضلاب و تلاش جهت کنترل و بهینه‌سازی مصرف انرژی آنها به عنوان یک اصل غیر قابل انکار مطرح است.

## ۲. مرور ادبیات تحقیق

بر اساس دانش و تجربیات موجود درخصوص تصفیه انواع فاضلاب، در حال حاضر می‌توان ادعا کرد که با دانش زیست محیطی خوب و تجزیه و تحلیل مناسب می‌توان تقریباً همه انواع فاضلاب‌هایی را که از مواد قابل تجزیه بیولوژیکی تشکیل شده است به روش بیولوژیکی تصفیه نمود [۸]. اهداف کلی تصفیه بیولوژیکی فاضلاب شهری، شامل تبدیل مواد قابل تجزیه بیولوژیکی کلوفیوئیدی (مانند اکسیداسیون) و

محلول به محصولات نهایی قابل پذیرش، تله کردن و ترکیب مواد جامد کلوئیدی (مانند اکسیداسیون) و معلق غیر قابل تنشینی به لخته‌های بیولوژیکی یا بیوفیلم، تبدیل یا حذف مواد مغذی مانند فسفر و نیتروژن و در بعضی موارد حذف ترکیبات آلی خاص جزئی می‌باشد [۱۴].

در کنار تنوع پارامترهای کمی و کیفی فاضلاب حاصل از زندگی انسان در جوامع شهری و همچنین فعالیت‌های بشری در فرآیندهای توسعه صنعتی، استفاده از روش مناسب تصفیه فاضلاب (از بین انواع روش‌های متعدد اعم از هوایی، بی‌هوایی و روش‌های تلفیقی) با هدف نیل به توسعه پایدار روشن است، بر این اساس انتخاب فرآیند بهینه در کنار ملاحظات مربوط به حداقل‌سازی هزینه‌های سرمایه‌گذاری، بهره‌برداری و نگهداری لزوم پرداختن به موضوع انتخاب روش بهینه تصفیه فاضلاب را آشکار می‌کند [۵]. بر این اساس ضروری بهنظر می‌رسد در کنار پرداختن به مباحث تخصصی تصفیه‌خانه‌های فاضلاب به موضوع مصرف بهینه انرژی و امکان سنجی استقرار مکانیزم سیستم‌های مدیریت انرژی انرژی نیز در انتخاب نوع فرآیند نیز پرداخته شود [۳]. همچنین ضروری است با توجه به اهمیت موضوع انرژی و هزینه‌های مرتبط با آن، اقدامات مرتبط با کاهش مصرف انرژی و استقرار سیستم مدیریت مصرف انرژی در تصفیه‌خانه‌های فاضلاب کشور اجرای شود [۲]. این مهم اقتضا می‌کند که متخصصان و طراحان این تأسیسات در طرح‌های پیشنهادی خود، سرفصل انرژی‌بری تأسیسات را نیز در کنار سایر ملاحظات طراحی فرآیندی لحاظ نمایند [۱۶]. با این هدف‌گذاری مدیریت هزینه‌ها همواره بهینه‌سازی مصرف انرژی در فرآیند تصفیه فاضلاب و ارتقای کارایی انرژی در تجهیزات و تأسیسات آن همواره برقرار می‌گردد، البته قابل ذکر است که از سایر منافع این امر می‌توان به اثرات خوب زیست محیطی این اقدامات نیز اشاره کرد [۱۱]. در فرآیندهای تصفیه فاضلاب میزان مصرف انرژی اکتیریکی وابسته به مقدار اکسیژن مورد نیاز فرآیند و متأثر از میزان مصرف هوای معادل آن می‌باشد، در یک سیستم تصفیه فاضلاب لجن فعال با تغییر در غلظت پارامترهای فاضلاب ورودی (مانند آمونیم یا آمونیاک) نرخ مورد نیاز اکسیژن، هوا و میزان انرژی مورد نیاز تأمین آن تغییر خواهد کرد [۱۱].

در حال حاضر تصفیه بیولوژیکی انواع فاضلاب‌های صنعتی و شهری اغلب از طریق هوادهی در فرآیند لجن فعال انجام می‌شود. بیوراکتورهای هوادهی به عنوان قلب تپنده تصفیه‌خانه‌های فاضلاب به تنهائی در حدود بازه ۲۵٪ تا ۶۰٪ از کل مصرف انرژی تأسیسات مذکور را به خود اختصاص می‌دهد، بر اساس مطالعه میدانی بین‌المللی درخصوص تفکیک مصرف انرژی در تصفیه‌خانه فاضلاب، سهم مصرف

انرژی واحد هوادهی بیورآکتور در حدود ۵۵٪ (بیش از نصف کل انرژی مصرفی تأسیسات) ارزیابی می‌شود، سهم مصرف انرژی سیستم پمپاژ نیز با حدود ۲۰٪ در جایگاه دوم می‌باشد. بر این اساس سهم هزینه انرژی مصرفی تأسیسات هوادهی ۷٪ از کل هزینه‌ها شامل هزینه سرمایه‌گذاری اولیه، هزینه تعمیرات و نگهداری و هزینه انرژی الکتریکی مصرفی در طول عمر تأسیسات تصفیهخانه می‌باشد [۱۲]. همچنین نتایج یک مطالعه عملیاتی ملی نشان می‌دهد که پس از انجام اقدامات بهینه‌سازی در سیستم هوادهی و سیستم پمپاژ یک تصفیهخانه فاضلاب، سهم میزان انرژی مصرفی بترتیب به ۴۲٪ و ۲۲٪ برای بخش‌های مذکور اصلاح می‌شود، لذا سهم بزرگ مصرف انرژی در سیستم هوادهی یک تصفیهخانه ببود یافته نشان از اهمیت انجام اقدامات بهودی در این زمینه دارد [۸]. لذا عملکرد بهینه سیستم هوادهی و تجهیزات و تأسیسات مرتبط با آن نقش قابل ملاحظه‌ای در راهبری مؤثر فرآیند، مصرف بهینه انرژی و کاهش هزینه‌های طراحی و بهره‌برداری تأسیسات دارد [۷].

با توضیحات فوق الذکر اهمیت طراحی مناسب واحد بیورآکتور و بخش هوادهی، انتخاب صحیح تجهیزات بخش هوادهی و کنترل عملکرد مناسب آنها در هزینه‌های احداث و بهره‌برداری تصفیهخانه آشکار است. اگر چه مفهوم مدیریت مصرف انرژی در کشور ما طی سال‌های اخیر مورد توجه قرار گرفته شده است، لیکن این مبحث در سایر کشورها و علی‌الخصوص در کشورهای توسعه یافته سال‌هاست عملیاتی شده است، برخی دیگر از کشورهای در حال توسعه نیز در این زمیه پروژه‌هایی را به اجرا درآورده و تجربیاتی برای آنها حاصل شده است. مفهوم مدیریت مصرف انرژی در تصفیهخانه فاضلاب این هدف مهم را میسر می‌کند، لذا جهت جلوگیری از پیچیدگی‌های ناشی از کل موضوع مصرف انرژی این تأسیسات در کلیه واحدها و نیز با توجه به سهم قالب مصرف انرژی در سیستم هوادهی تصفیهخانه لجن فعال (با سهم حداقلی مصرف بیش از ۵۰٪ از کل انرژی تأسیسات)، استقرار سیستم مدیریت انرژی منحصرأً در بخش بیورآکتور لجن فعال تصفیهخانه پیشنهاد می‌شود. بر این اساس ضروری است جهت استقرار سیستم مدیریت انرژی در بیورآکتور لجن فعال تصفیهخانه فاضلاب، ارتباط معناداری برای تأمین بهینه میزان اکسیژن مورد نیاز فرآیند تصفیه فاضلاب با حداقل مصرف انرژی در بیورآکتور لجن فعال برقرار شود، این ارتباط ریاضی، از طریق برآورد شاخص استاندارد راندمان اکسیژن دهی ( $SAE_{(kgO_2/kWh)}$ ) که از نظر مفهومی نسبت میزان اکسیژن مورد نیاز فرآیند به میزان انرژی مصرفی در سیستم هوادهی تصفیهخانه می‌باشد ایجاد می‌شود.

### ۳. مدل ریاضی سیستم مدیریت مصرف انرژی تأسیسات

در این بخش صرفاً به تشریح و بررسی روابط ریاضی حاکم بر محاسبه اکسیژن مورد نیاز فرآیند، برآوردهای متاخر و نیز ارزیابی انرژی لازم جهت تأمین هوای مذکور در فرآیند لجن فعال می‌پردازیم. بر اساس مفاهیم طراحی فرآیندی بیورآکتور میزان اکسیژن واقعی مورد نیاز متاثر از میزان حذف بارآلودگی (یا COD)، میزان نیتریفیکاسیون و دی‌نیتریفیکاسیون فرآیند بوده و مقدار آن در شرایط سایت از رابطه (۱) برآورده می‌شود:

$$\begin{aligned} AOTR = & Q_{ww}(S - S_0) - 1.42P_{X, bio} \\ & + 4.33Q_{ww}(NO_X) \\ & - 2.86Q_{ww}(NO_X - NO_{X_e}) \end{aligned} \quad (1)$$

AOTR: نرخ واقعی انتقال اکسیژن در شرایط عملی بیورآکتور، kg O<sub>2</sub>/d

Q<sub>ww</sub>: دبی روزانه فاضلاب ورودی به هر بیورآکتور، m<sup>3</sup>/tank.d

S-S<sub>0</sub>: اختلاف غلظت شاخص بار آلودگی بیورآکتور، (g/m<sup>3</sup>)

P<sub>X, bio</sub>: مقدار بایومس تولید شده در بیورآکتور، kg for SRT days

NO<sub>x</sub>: شاخص نیتروژن آمونیاکی طی فرآیند نیتریفیکاسیون بیورآکتور، (g/m<sup>3</sup>)

NO<sub>xe</sub>: شاخص نیتروژن آمونیاکی طی فرآیند دی‌نیتریفیکاسیون بیورآکتور، (g/m<sup>3</sup>)

با اعمال عوامل تصحیح کننده شرایط سایت به شرایط استاندارد شامل تأثیر شرایط اقلیمی سایت، عملکرد تجهیز هوادهی و میزان شوری فاضلاب، برآوردهای میزان اکسیژن مورد نیاز طرح در شرایط نرمال از رابطه (۲) بازبینی می‌شود:

$$\begin{aligned} SOTR = & AOTR \\ & \left( \frac{C_{S,20}}{\alpha F(\beta C_{\overline{S},T,H} - C)} \right) (1.024^{20-T}) \end{aligned} \quad (2)$$

AOTR: نرخ انتقال اکسیژن واقعی در شرایط عملی بیورآکتور، kg O<sub>2</sub>/d

SOTR: نرخ انتقال اکسیژن استاندارد (در شرایط آب تمیز با دمای ۲۰°C و اکسیژن محلول صفر) در

بیورآکتور، kg O<sub>2</sub>/d

CS<sup>-</sup>, T, H: متوسط غلظت اکسیژن محلول در آب تمیز در بیورآکتور، (mg/l)

C: متوسط غلظت اکسیژن حین بهره‌برداری بیورآکتور، (mg/l)

C<sub>S,20</sub>: غلظت اکسیژن محلول در آب تمیز با دمای ۲۰°C در بیورآکتور، (mg/l)

a: ضریب تصحیح انتقال اکسیژن فاضلاب در بیورآکتور

F: ضریب گرفتگی تجهیز هوادهی در بیورآکتور

B: ضریب اصلاح کشش سطحی سیال و شوری آن در بیورآکتور

T: دمای هوا در شرایط بهره‌برداری سایت، °K

با تأثیر عمق مؤثر بیورآکتور حین هوادهی و راندمان ویژه انتقال اکسیژن تجهیز هوادهی، محاسبه

هوای مورد نیاز سایت در شرایط نرمال نیز از طریق رابطه ۳ انجام می‌شود:

$$Q_{air} = \frac{SOTR}{(SOTE)(\rho_{Normal})(\%O_2)} \quad (3)$$

Q<sub>air</sub>: دبی حجمی هوای مورد نیاز در شرایط نرمال، Nm<sup>3</sup>/hr

SOTR: نرخ انتقال اکسیژن استاندارد (در شرایط آب تمیز با دمای ۲۰°C و اکسیژن محلول صفر) در بیورآکتور، kg O<sub>2</sub>/d

SOTE: راندمان ویژه استاندارد انتقال اکسیژن در سیستم هوادهی بیورآکتور، % (استخراج از نمودار عملکردی تجهیز هوادهی)

%O<sub>2</sub>: میزان غلظت اکسیژن موجود در هوا در شرایط نرمال، %

با توجه به تأثیر شرایط اقلیمی بر عملکرد توربو بلوئرها، در تعیین ظرفیت مناسب بلوئرها لازم است تأثیر حداکثر دمای هوا و ارتفاع منطقه در انتخاب لحظه شود. این اصلاح از طریق برآورد اعمال شرایط فشار و دمای سایت و اصلاح چگالی هوا انجام می‌شود، برآورد تأثیر ارتفاع ارتفاع و دمای سایت در فشار منطقه از طریق رابطه (۴) صورت می‌پذیرد:

$$P_{Site}/P_{Normal} = e^{-\left(\frac{gM(Z_{site}-Z_{Normal})}{RT}\right)} \quad (4)$$

P<sub>site</sub>: فشار اتمسفریک در شرایط سایت، bar

g: شتاب جاذبه زمین، 9.81m/s<sup>2</sup>

M: جرم مولکولی هوا، 28.97 kg/kg mole

Z<sub>Site</sub>: ارتفاع سایت از سطح آزاد دریا، m

R: ثابت جهانی گازها، 8,314 kg.m<sup>2</sup>/s<sup>2</sup>.kg mole. °K

T: دمای هوا در شرایط بهره‌برداری سایت، °K

تصحیح چگالی هوا با اعمال دما و فشار در شرایط منطقه از رابطه (۵) انجام می‌شود:

$$\rho_{P,T} = \frac{PM}{RT} \quad (5)$$

$\rho_{P,T}$ : چگالی هوا در شرایط سایت،  $\text{kg/m}^3$

$P_{\text{site}}$ : فشار اتمسفریک در شرایط سایت، bar

M: جرم مولکولی هوا،  $\text{kg/kg mole}$

R: ثابت جهانی گازها،  $\text{J.m}^2/\text{s}^2.\text{kg mole.}^\circ\text{K}$

T: دمای هوا در شرایط بهره‌برداری سایت،  $^\circ\text{K}$

جهت ارزیابی میزان انرژی مصرفی نیاز در بلوئرهای هوادهی تأمین هوای فرآیندی مورد نیاز از رابطه زیر استفاده می‌شود:

$$P_W = \frac{\rho Q_{\text{air}} RT}{0.286 \varepsilon_{\text{Blower}}} \left[ \left( \frac{P + \Delta P}{P} \right)^{0.286} - 1 \right] \quad (6)$$

$P_W$ : توان مصرفی بلوئرها تأمین هوای فشرده،  $\text{kW}$

$\rho_{P,T}$ : چگالی هوا در شرایط سایت،  $\text{kg/m}^3$

Q<sub>air</sub>: دبی حجمی هوای بلوئر در شرایط سایت،  $\text{m}^3/\text{Sec.}$

R: ثابت جهانی گازها،  $\text{J.m}^2/\text{s}^2.\text{kg mole.}^\circ\text{K}$

T: دمای هوا در شرایط بهره‌برداری سایت،  $^\circ\text{K}$

$P_{\text{site}}$ : فشار اتمسفریک در شرایط سایت، bar

$P_{\text{site}}$ : اختلاف فشار هوا در ورودی و خروجی بلوئر، bar

$\varepsilon_{\text{Blower}}$ : راندمان انرژی کلی بلوئر، %

شایان ذکر است که علاوه بر امکان استفاده از رابطه (۶) جهت برآورد انرژی مصرفی در بلوئرها، میزان انرژی مصرفی سیستم هوادهی بیوراکتور در شرایط عملکردی مورد نظر از طریق استناد به اطلاعات فنی سازنده اظهار شده توسط سازنده تجهیزات در Data Sheet نیز قابل ارزیابی می‌باشد. محاسبه شاخص راندمان اکسیژن دهی استاندارد جهت استقرار سیستم مدیریت انرژی در سیستم هوادهی بیوراکتور نیز بر اساس رابطه زیر انجام می‌پذیرد:

$$SAE = \frac{SOTR}{P_W} \quad (7)$$

SOTR: نرخ انتقال اکسیژن استاندارد (در شرایط آب تمیز با دمای  $20^{\circ}\text{C}$  و اکسیژن محلول صفر) در

بیورآکتور،  $\text{kg O}_2/\text{d}$

$P_w$ : توان مصرفی بلوئرهای تأمین هوای فشرده،  $\text{kW}$

#### ۴. بررسی استقرار سیستم مدیریت مصرف انرژی در یک نمونه مطالعاتی

در این بخش ارائه محاسبه شاخص راندمان اکسیژن دهی استاندارد سیستم هوادهی بیورآکتور برای یک نمونه مطالعاتی از تصفیه خانه فاضلاب شهری شهریار با متوسط ظرفیت روزانه ۴۰ هزار مترمکعب و جمعیت تحت پوشش ۲۴۰ هزار نفر مورد نظر می‌باشد. بخش سیال این تصفیه خانه شامل کanal ورودی، جعبه مقسم، آشغالگیر دستی، ایستگاه پمپاز، آشغالگیر مکانیکی، تاسیسات دانه و چربی‌گیری، مخازن متعادل سازی قبل و بعد از بیورآکتور، واحد رآکتور ناپیوسته متوالی (SBR)، تاسیسات اندازه‌گیری دبی جریان ورودی و خروجی به بخش سیال و تاسیسات ضدغونی پساب (UV) است. کل بار الکتریکی مورد نیاز تجهیزات الکترومکانیکال، حدود  $1572\text{kW}$  در شرایط بهره‌برداری نرمال تاسیسات تصفیه خانه برآورد می‌شود. مشخصات اقلیمی جهت طراحی تصفیه خانه مورد نظر شامل حداکثر دمای هوای  $30^{\circ}\text{C}$  و دمای فاضلاب  $20^{\circ}\text{C}$  و ارتفاع منطقه  $1100\text{m a.s.l}$  است. لازم به توضیح است که در مقاله حاضر طراحی کل بیورآکتور تصفیه خانه‌های فاضلاب فرآیند لجن فعال مورد نظر نبوده و منحصرأً عملیاتی کردن ارزیابی کارایی مصرف انرژی و برآورد شاخص تأمین حداقل راندمان اکسیژن دهی استاندارد در یک نمونه تصفیه خانه با فرآیند رآکتور ناپیوسته متوالی (SBR) مورد نظر است. مشخصات فاضلاب ورودی برای پارامترهای طراحی فرآیندی شامل  $\text{COD}$ ,  $\text{BOD}_5$ ,  $\text{TSS}$  و  $\text{TN}$  بترتیب،  $484\text{mg/lit}$ ,  $272\text{mg/lit}$ ,  $332\text{mg/lit}$  و  $43\text{mg/lit}$ . هدف‌گذاری خروجی تصفیه خانه برای پارامترهای  $\text{BOD}_5$ ,  $\text{TSS}$  و  $\text{TN}$  نیز بترتیب  $30\text{mg/lit}$ ,  $40\text{mg/lit}$  و  $6\text{mg/lit}$  می‌باشد.

با توجه به طراحی تصفیه خانه بر اساس ۴ بیورآکتور موافق، دبی روزانه ورودی هر تانک ۱۰ هزار متر مکعب فاضلاب بوده و مطابق با پارامتر طراحی زمان ماند لجن حدود ۱۳ روز و ضرایب سینتیکی طراحی فرآیند رآکتور ناپیوسته متوالی (SBR)، برآورد میزان اکسیژن واقعی مورد نیاز هر بیورآکتور بشرح زیر انجام می‌شود:

$$Q_{ww} = 10000 \text{ m}^3/\text{d}$$

$$S - S_0 = 457.6 \text{ mg/lit.}$$

$$P_{X,bio} = 934.2 \text{ mg/lit.}$$

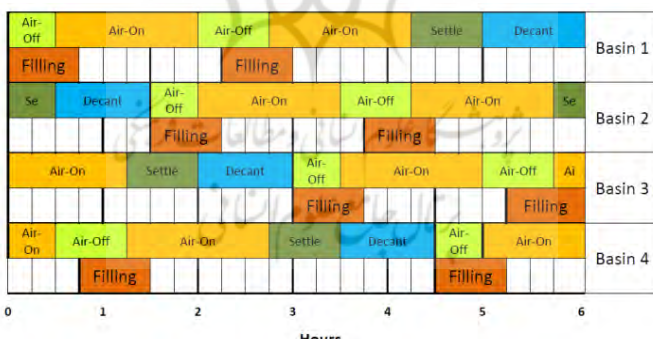
$$NO_X = 33.25 \text{ mg/lit.}$$

$$NO_{xe} = 5.25 \text{ mg/lit.}$$

$$AOTR = 4660.8 \text{ kgO}_2/\text{a}$$

برای واحد رآکتور ناپیوسته متواالی (SBR) تصفیه خانه چهار رآکتور ناپیوسته متواالی در نظر گرفته شده است. از آنجا که هر رآکتور به صورت منقطع نمودار توالی زمانی ارائه شده در شکل (۱) برای شرایط بهره‌برداری نرمال تصفیه خانه کل زمان بندی سیکل مجموعاً ۳۶۰ دقیقه (معادل ۶ ساعت) است. در هر سیکل ۹۰ دقیقه زمان پرکردن بیورآکتور، ۱۶۵ دقیقه زمان انجام عملیات واکنش، ۴۵ دقیقه زمان ماند و تهشینی سیال و ۶۰ دقیقه برای تخلیه بیورآکتور می‌باشد.

قابل ذکر است که در شرایط بهره‌برداری نرمال تصفیه خانه زمان هواده‌ی هر سیکل ۱۸۰ دقیقه است که ۳۰ دقیقه از آن در حین پرکردن تانک و ۱۵۰ دقیقه از آن همزمان با واکنش در فاز انوکسیک از طریق روشن و خاموش کردن هواده‌ها و میکسرها اتفاق می‌افتد، بنابراین برای شرایط عادی بهره‌برداری تصفیه خانه ۴ سیکل ۶ ساعته برای هر بیورآکتور و طی شباهنگی روز مجموعاً ۱۶ سیکل برای کل بیورآکتورها اتفاق خواهد افتاد.



شکل ۱. نمودار توالی زمانی SBR در شرایط بهره‌برداری نرمال

در شرایط بهره‌برداری نرمال تصفیه خانه، ۴ سیکل ۶ ساعته برای هر بیورآکتور متصور است، با توجه به شکل (۱) مبنی بر زمان هواده‌ی معادل ۳ ساعت برای هر سیکل، برآورد میزان اکسیژن واقعی مورد نیاز هر بیورآکتور بشرح زیر انجام می‌شود:

$$AOTR = \frac{4660.8_{kgO_2/d}}{4_{Cycle}(3_{hr/Cycle})} = 388.4_{kgO_2/hr}$$

با اعمال ضرایب تصحیح شرایط اقلیمی سایت شامل دمای طراحی هوای  ${}^{\circ}30C$ ، ارتفاع از سطح دریا  $110m$  و ضریب اصلاحی انتقال اکسیژن تجهیز هوادهی  $\alpha$  برابر  $0.85$  و ضریب گرفتگی تجهیز هوادهی  $F$  برابر  $1$  و همچنین اصلاح ضریب شوری فاضلاب  $\beta$  با مقدار  $0.98$ ، همچنین اعمال سایر عوامل تصحیح کننده شرایط سایت به شرایط استاندارد بشرح زیر، برآورد میزان اکسیژن مورد نیاز در شرایط استاندارد بازبینی می‌شود:

$$C_{s,20} = 9.08_{mg/lit.}$$

$$C_{\bar{s},T,H} = 12.5_{mg/lit.}$$

$$C = 1.5_{mg/lit.}$$

$$SOTR = 483.8_{kgO_2/d}$$

شایان ذکر است که در فرآیند هوادهی راکتور ناپیوسته متولی (SBR) مورد نظر، مکانیزم هوادهی از نوع عمقی بوده و عملیات بهره‌برداری از طریق تأمین هوا توسط بلوئرها و توزیع آنها از طریق هواده/میکسر انجام می‌پذیرد. به عبارت دیگر تأمین هوای فرآیندی مورد نیاز این مورد مطالعاتی از طریق چیدمان  $4+1$  عدد بلوئر جایه‌جایی مشیت و توزیع آن از طریق  $12$  عدد هواده/میکسر در داخل بیوراکتور  $(3)$  عدد هواده/میکسر در  $4$  بیوراکتور) صورت می‌پذیرد. بر اساس چیدمان  $3$  عدد هواده/میکسر در هر بیوراکتور و همچنین اطلاعات مشخصات عملکردی تجهیز هوادهی اظهار شده در Data Sheet سازنده مبنی بر نرخ انتقال اکسیژن استاندارد ((SOTE( $kgO_2/hr$ )) و راندمان استاندارد انتقال اکسیژن ((SOTR( $kgO_2/d$ ))) تجهیز هوادهی (شکل ۲) و نیز با اعمال  $50\%$  افزایش ظرفیت مطابق با توجه به توصیه‌های مراجع محاسبات فرآیندی، برآورد هوای مورد نیاز سایت در شرایط نرمال بشرح زیر انجام می‌پذیرد:

$$Q_{air} = \frac{1.5(483.8_{kgO_2/hr})}{(0.341_{SOTE(\%)})(1.27_{kgair/Nm^3})(0.2096_{\%O_2})} \\ = 7994.8_{Nm^3/hr}$$

همان‌طوری که در شکل (۲) مشاهده می‌شود، مشخصات توان مصرفی اظهار شده در Data Sheet سازنده مقدار  $W/8kW$  را برای هر تجهیز هوادهی و مجموعاً  $101/4kW$  برای هر بیوراکتور نشان می‌دهد.

مطابق شکل (۱) در نمودار توالی زمانی سیکل SBR در شرایط نرمال بهره‌برداری تصفیه‌خانه، منحصرآ دو بیوراکتور به طور همزمان در حال هوادهی می‌باشند، بنابراین با توجه به مشخصات طراحی مبنی بر تأمین هوای فرآیندی مورد نیاز از طریق چیدمان بلوئرهای جابه‌جایی مثبت با تعداد ۴+۱، تأمین هوای هر بیوراکتور از طریق ۲ بلوئر قابل انجام است، بنابراین تعیین ظرفیت هر بلوئر به صورت زیر برآورد می‌شود:

$$Q_{Blower} = \frac{7994.8 \text{ Nm}^3 / \text{hr}}{2} = 3997.5 \text{ Nm}^3 / \text{hr}$$

#### Oxygen Requirements (per basin)

|         |                           |
|---------|---------------------------|
| - AOR:  | 388.4 kgO <sub>2</sub> /h |
| - SOTR: | 483.8 kgO <sub>2</sub> /h |

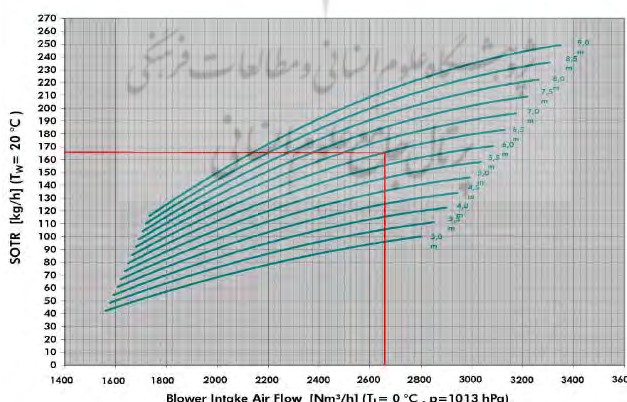
#### System design

|   |  |
|---|--|
| - Air flow per Mixer/Aerator:                               | 2665 Nm <sup>3</sup> /h                        |
| - Total air flow per basin:                                 | 7995 Nm <sup>3</sup> /h                        |
| - Blower(s) intake air flow per SBR :                       | 9750 m <sup>3</sup> /h                         |
| - Pressure loss up to battery limit (incl. hyd. pressure) : | 670 mbar                                       |
| - Standard Oxygen Transfer Efficiency (SOTE):               | 34.1 %   |
| - Standard Oxygen Transfer Rate (SOTR <sub>20</sub> ) :     | 161 kgO <sub>2</sub> /h<br>(per Mixer/Aerator) |

|                   |          |
|-------------------|----------|
| - Mixer diameter: | 2,500 mm |
|-------------------|----------|

#### Aeration mode:

|                          |                       |
|--------------------------|-----------------------|
| - Speed:                 | 45 1/min              |
| - Installed motor power: | 37 kW                 |
| - Power at motor shaft:  | 30.5 kW               |
| - Power consumption:     | 33.8 kW               |
| - Power density:         | 13.6 W/m <sup>3</sup> |
| - Power reserve:         | ≥ 15 %                |



شکل ۲. مشخصات عملکردی تجهیز هوادهی در Data Sheet سازنده

با توجه به تأثیر شرایط عوامل اقلیمی بر عملکرد توربین ماشین‌ها، لازم است جهت انتخاب بلوئر با ظرفیت مناسب شرایط اقلیمی منطقه شامل حداقل دمای هوای  $20^{\circ}\text{C}$  و ارتفاع منطقه  $1100\text{m}$  در سایزینگ تجهیز تأمین هوای فرآیندی لحاظ شود.

$$P_{Site} = e^{-\frac{(9.81 \frac{\text{m}}{\text{s}^2})(28.97 \frac{\text{kg}}{\text{kgmole}})(1100\text{m})}{(8314 \frac{\text{kg.m}^2}{\text{kg}} \cdot \text{s}^2 \cdot \text{kgmole} \cdot \text{K})(303.2 \cdot \text{K})}} = 0.883 \text{ bar}$$

تصحیح چگالی هوا با اعمال دمای هوای  $30^{\circ}\text{C}$  و فشار منطقه برابر  $88\text{bar}$ ، به طریق زیر انجام می‌شود:

$$\rho_{0.883\text{bar}, 30^{\circ}\text{C}} = \frac{(0.883 \text{bar})(101325 \text{pa})(28.97 \frac{\text{kg}}{\text{kgmole}})}{(8314 \frac{\text{kg.m}^2}{\text{kg}} \cdot \text{s}^2 \cdot \text{kgmole} \cdot \text{K})(303.2 \cdot \text{K})} = 1.01 \frac{\text{kg}}{\text{m}^3}$$

بر این اساس بازبینی ظرفیت بلوئر بر اساس اطلاعات شرایط اقلیمی منطقه بشرح زیر انجام می‌شود:

$$Q_{Blower} =$$

$$3997.5 \frac{\text{Nm}^3}{\text{hr}} \frac{1.27 \frac{\text{kg}}{\text{Nm}^3 \text{air}}}{1.01 \frac{\text{kg}}{\text{m}^3 \text{air}}} = 5000 \frac{\text{m}^3}{\text{hr}}$$

لازم به ذکر است که در Data Sheet سازنده بلوئر (شکل ۳) توان مصرفی اظهار شده برای هر تجهیز  $131\text{kW}$  و مجموع توان مصرفی بلوئرهای هر بیوراکتور  $262\text{kW}$  است.

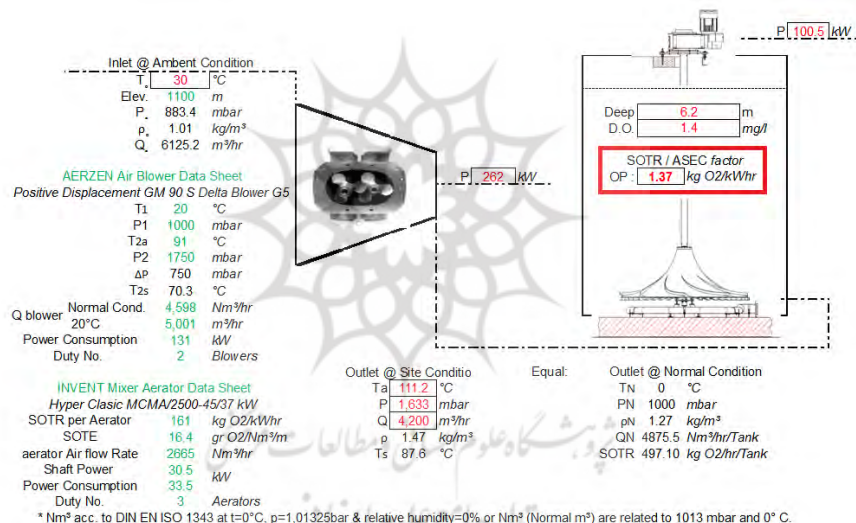
| <u>Performance data:</u>  |                | frequency converter     |         |       |
|---|----------------|-------------------------|---------|-------|
| Medium  | Air            |                         |         |       |
| Intake volume, handled at intake condition  | $Q_1$          | $\text{m}^3/\text{min}$ | 83.34   | 28.74 |
| Intake volume, handled at intake condition  | $Q_1$          | $\text{m}^3/\text{h}$   | 5001    | 1725  |
| Volume handled at normal condition<br>with reference to $T_1=273^{\circ}\text{K}$ ; $p_1=1.013\text{bar}$ , $f=0\%$   | $Q_N$          | $\text{Nm}^3/\text{h}$  | 4598    | 1586  |
| Mass flow   | $m$            | $\text{kg/h}$           | 5942    | 2050  |
| Density at inlet conditions   | $\text{Rho}_1$ | $\text{kg/m}^3$         | 1.188   | 1.188 |
| Intake pressure (abs.)  | $p_1$          | bar                     | 1.000   | 1.000 |
| Outlet pressure (abs.)  | $p_2$          | bar                     | 1.750   | 1.750 |
| Pressure difference   | $\Delta p$     | mbar                    | 750     | 750   |
| Intake temperature  | $t_1$          | $^{\circ}\text{C}$      | 20      | 20    |
| Discharge temperature   | $t_2$          | $^{\circ}\text{C}$      | 91      | 107   |
| Male rotor speed  | $n_{HR}$       | rpm                     | 2270    | 960   |
| Power consumption at coupling   | $P_x$          | kW                      | 131     | 50.47 |
| Motor speed   | $n_M$          | rpm                     | 1490    | 596   |
| Motor rating  | $P_{Mot}$      | kW                      | 160     |       |
| Motor frequency   | $f$            | Hz                      | 50      | 20    |
| <u>Tolerances</u>   |                |                         |         |       |
| for volume handled at intake condition  |                | %                       | +5 / -5 |       |
| for power required at the coupling / coupling power   |                | %                       | +5 / -5 |       |
| <u>Machine noise each unit</u>  |                |                         |         |       |
| Sound pressure level without hood approx.   | $L_p(A)$       | dB(A)                   | 103     |       |
| Sound pressure level with hood approx.  | $L_p(A)$       | dB(A)                   | 80      |       |
| Measured in the free field in 1 m distance from the outline of the unit without radiating noise of the pipe (tolerances $\pm 2\text{ dB(A)}$ ), in accordance with DIN EN ISO 2151.<br>Concerning sound development at place of installation please see TN01184 (please ask for if required). |                |                         |         |       |

شکل ۳. مشخصات عملکردی بلوئرهای هوای در Data Sheet سازنده

با توجه به اطلاعات فرآیندی نمونه مطالعاتی مورد نظر و برآورد میزان اکسیژن واقعی مورد نیاز فرآیند، شاخص راندمان اکسیژن دهی استاندارد (SAE<sub>(kgO<sub>2</sub>/kWhr)</sub>) سیستم هوادهی برای هر تانک بیورآکتور بشرح ارزیابی می شود:

$$\begin{aligned} SAE_{kgO_2/kWhr} &= \frac{483.8 kgO_2/hr}{(3(33.8 kW) + 2(131 kW))} \\ &= \frac{725.7 kgO_2/hr}{363.4 kW} = 1.33 kgO_2/kWhr \end{aligned}$$

شکل (۴) شماتیکی از دیاگرام بلوکی سامانه ارزیابی کارایی مصرف انرژی راکتور ناپیوسته متواالی (SBR) مورد مطالعاتی را نمایش می دهد.

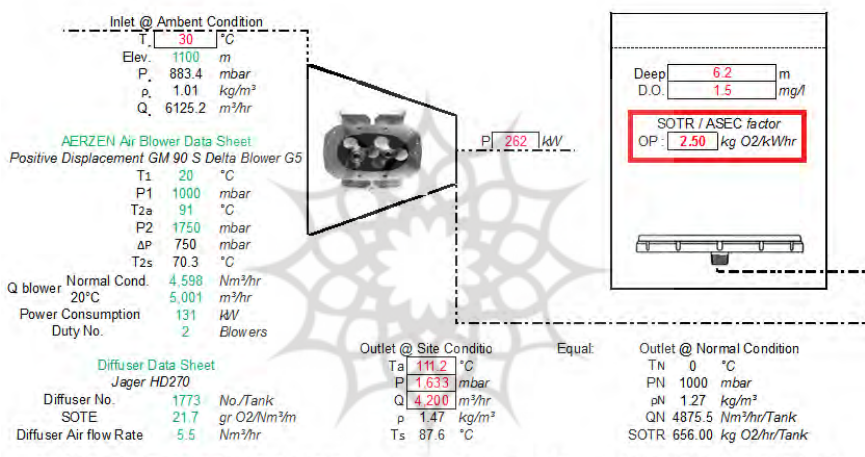


شکل ۴. دیاگرام بلوکی سامانه ارزیابی کارایی مصرف انرژی مورد مطالعاتی

با توجه به نمودار توالی زمانی عملکرد راکتور ناپیوسته متواالی (SBR) مبني بر هوادهی همزان دو بیورآکتور و نیز چیدمان تجهیزات هوادهی بیورآکتور تصفیه خانه، در شرایط بهرهبرداری نرمال توان الکتریکی مصرفی سیستم هوادهی تصفیه خانه برابر W ۷۲۶/۸kW ارزیابی می شود. بر اساس برآورد کل بار الکتریکی مورد نیاز تجهیزات الکترومکانیکال حدود ۱۵۷۲kW در شرایط بهرهبرداری نرمال تأسیسات

تصفیه خانه، سهم توان الکتریکی مصرفی سیستم هوادهی از کل بار الکتریکی مورد نیاز تجهیزات الکترومکانیکال حدود ۴۶٪ ارزیابی می‌شود.

بر اساس تجارت بین‌المللی، تأمین شاخص حداقل راندمان اکسیژن‌دهی استاندارد (SAE) (kgO<sub>2</sub>/kWh) به مقدار ۲/۵ kgO<sub>2</sub>/kWh برای بهره‌داری از واحد هوادهی بیوراکتور تصفیه خانه مورد تأکید است. در صورت تحقق ایده استقرار سیستم مدیریت انرژی در هوادهی بیوراکتور این طرح با هدف خط مبنای قابل پذیرش ۲/۵ kgO<sub>2</sub>/kWh، باعث بهبود شاخص راندمان اکسیژن‌دهی استاندارد (SAE<sub>(kgO<sub>2</sub>/kWh)</sub>) سیستم هوادهی مورد مطالعاتی در حدود ۹۲٪ می‌شود.



\* Nm<sup>3</sup> acc. to DIN EN ISO 1343 at  $t=0^{\circ}\text{C}$ ,  $p=1,01325\text{bar}$  & relative humidity=0% or Nm<sup>3</sup> (Normal m<sup>3</sup>) are related to 1013 mbar and  $0^{\circ}\text{C}$ .

شکل ۵. دیاگرام بلوکی استقرار سیستم مدیریت انرژی مورد مطالعاتی بر اساس تأمین خط مبنای بین‌المللی

بر اساس دیاگرام بلوکی شکل (۵) مبنی بر استقرار سیستم مدیریت انرژی در واحد هوادهی این تصفیه خانه، تحقق شاخص راندمان اکسیژن‌دهی استاندارد معادل ۲/۵ kgO<sub>2</sub>/kWh موجب کاهش توان الکتریکی مصرفی در حدود ۷/۲۷٪ (معادل ۲۰۱kW) و کاهش کل بار الکتریکی مورد نیاز تجهیزات مورد مطالعاتی تا ۱۳۷۱kW (کاهش حدود ۱۲/۸٪) را در پی خواهد داشت، بر این اساس صرفه‌جویی مصرف انرژی روزانه معادل ۴۸۲۴kWh، سالیانه ۱۷۶۰/۷۶MWh و در طول عمر مفید تأسیسات تصفیه خانه حدود ۵۲۸۲۳MWh قابل تحقق ارزیابی می‌شود.

## ۵. تحلیل نتایج استقرار سیستم مدیریت مصرف انرژی

به استناد اطلاعات ارائه شده در آخرین نسخه ترازnamه انرژی کشور (سال ۱۳۹۴) متوسط راندمان نیروگاههای حرارتی کشور حدود  $\frac{۳۷}{۴}\%$  و میزان مصارف و تلفات شامل  $\frac{۲}{۸}\%$  مصرف داخلی نیروگاهها،  $\frac{۲}{۹}\%$  تلفات انتقال و  $\frac{۱۱}{۹}\%$  تلفات توزیع و همچنین شاخص میانگین شاخص انتشار گازهای آلاینده و گلخانه‌ای بخش نیروگاهی کشور برابر  $۱۸۰$  گرم بر کیلو وات ساعت است، بر این اساس در طول عمر مفید تأسیسات صرفه‌جوئی  $۱۷$  میلیون متر مکعب گاز طبیعی و عدم انتشار  $۹۵۰۰$  تن گاز آلاینده و گلخانه‌ای از اثرات مثبت فنی و زیست محیطی طرح مورد نظر می‌باشد.

از دیدگاه صرف بنگاه اقتصادی در تحلیل مورد مطالعاتی حاضر، با توجه به تعریف نازل هزینه برق مصرفی در دسته‌بندی گروه آب و کشاورزی و گروه تصفیه‌خانه‌ها و شبکه‌های جمع‌آوری فاضلاب شامل  $۲۲۴$  Rials/kWh هزینه انرژی و  $۱۸۰\cdot۵$  Rials/kWh. اجرای طرح بهبود حاضر مبنی بر کاهش هزینه‌های سالیانه برق مصرفی در حدود  $۳۲۰$  Rials/kWh.  $۵۶۴$  میلیون ریال قابل تصور است.

همچنین از دیدگاه اقتصادی ملی نیز، با توجه به صرفه‌جوئی سالیانه  $۵۷۱۶۷۵m^3N.G$  گاز طبیعی با امکان صادرات گاز طبیعی با تعریف حدود  $\frac{۳۰}{m^3N.G}$  و نیز عدم مصرف برق سالیانه  $۱۷۶\cdot MWh$ . با اختلاف هزینه یکنواخت شده برق حدود  $۲۱۸۰$  Rials/kWh. تحقق می‌باشد. شایان ذکر است که در تحلیل حاضر منافع زیست محیطی ناشی از عدم انتشار  $۹۴۰۰$  تن گاز آلاینده و گلخانه‌ای نیز در عمر مفید تأسیسات لحاظ نشده است.

شایان ذکر است که با توجه به آمار ارائه شده در سال  $۹۷$  مبنی بر سهم میزان مصرف انرژی در تأسیسات تصفیه فاضلاب در حدود  $۲۴۱$  میلیون کیلووات، در صورت استقرار سیستم مدیریت انرژی با عملکرد مشابه نمونه مطالعاتی، هدف‌گذاری تحقیق  $۳۷$  میلیون کیلو وات ساعت صرفه‌جوئی انرژی سالیانه دور از انتظار نمی‌باشد.

## ۶. تشکر و قدردانی

بدین‌وسیله به جهت همکاری صمیمانه و بی دریغ مجموعه مدیران، کارشناسان و دست اندر کاران تصفیه خانه فاضلاب شهریار، مراتب احترام، تشکر و قدردانی خود را از بعمل می‌آورد.

## منابع

- [۱] تشیعی، حمیدرضا و سیستانی محمد قاسمی (۱۳۹۵)، مدیریت مصرف انرژی در تأسیسات آب و فاضلاب، انتشارات مکث نظرف شماره ملی کتاب شناسی آب و ۴۲۸۸۲۷۶.
- [۲] ثقیلی، سحر؛ امینی راد، حسن؛ مهردادی، ناصر و غلامرضا نبی بید هندی (۱۳۹۵)، "تعیین انرژی الکتریکی مصرفی در فرآیندهای مختلف تصویه فاضلاب صنعتی شهرک نصیرآباد با رویکرد مقدار حذف COD"، نشریه محیط شناسی / دوره ۴۲، شماره ۱، فصل بهار.
- [۳] داودی نژاد، مصطفی و پوریا بی پروا (۱۳۹۴)، "اولویت بندی فناوری‌های تولید انرژی از فرآیندهای تصویه فاضلاب به روش تحلیل سلسله مراتبی AHP"، نشریه انرژی ایران / دوره ۱۸ شماره ۳.
- [۴] سعیدی، محسن و مجید حسن‌زاده (۱۳۸۴)، "کمینه‌سازی مصرف آب و تولید پساب در صنایع با استفاده از روش برنامه ریزی خطی و غیر خطی"، نشریه انرژی ایران / سال ۱۹، شماره ۲۵.
- [۵] کریمی، عبدالرضا؛ مهردادی، ناصر؛ نبی بید هندی، غلامرضا و سید جمال الدین هاشمیان (۱۳۸۹)، "معیارهای انتخاب فرآیند بهینه تصویه فاضلاب"، چهارمین همایش تخصصی مهندسی محیط زیست، تهران.
- [۶] مهردادی، ناصر؛ آقایجانی یاسینی، آزاده؛ زاهدی مهر، علی؛ محمدی اقدم، علیرضا و غلامرضا نبی بید هندی (۱۳۹۰)، "کاربرد امواج مافوق صوت بر محلول‌سازی (هیدرولیز) و بهبود قابلیت تجزیه بیولوژیکی ترکیبات آلی فاضلاب صنایع لبنی (مطالعه موردی صنایع لبنی پگاه)", مجله آب و فاضلاب، دوره ۲۲، صص ۵۴-۷۰.
- [۷] مهردادی، ناصر؛ ترابیان، علی و احمد رضا محمدی (۱۳۹۱)، "کاهش لجن مازاد با استفاده از روش‌های مختلف در تصویه بیولوژیکی فاضلاب به روش SBR"، نشریه محیط شناسی، سال ۳۸، شماره ۱۶، صص ۴۹-۶۰.

- [8] Amand L. and Carlsson B. (2012), "*Optimal aeration control in a nitrifying activated sludge process*" J Wtaer Research. 46(7), 2101-2110.
- [9] Chae K. and J. Kang (2013), "Estimating the Independence of Munciple Wastewater Treatment Plant Incorporating Green Energy Resource". Energy Conservation and Managment. No. 75, pp. 664-672.
- [10] Goldstein R. and W. Smith (2002), "*Water & Sustainability (volume 4): U.S. Electricity Consumption for Water Supply & Treatment - the Next half Century,*" Electric Power Research Institute, United States of America.
- [11] Kusiak A., Zhang Z. and Y. Zeng (2013), "*Modeling and Analises of pump in wastewater Treatment Plant: a Data-mining Approach*". Engineering Applicationa of Artifical Inetlligence. 26(7), pp. 1643-1651.

- [12] Malcoim B., Middleton R., Schulting F. and G. Wheale (2010), "Energy Efficiency in the water industry, a Global Research Project" J Wtaer and Technology. 6(2), pp. 208-205.
- [13] Manual of Practice (2009), "Energy Conservation in Water and Wastewater Facilities" (MOP) No. 32. New York: McGraw Hill. WEF.
- [14] Metcalf and Eddy Inc. (2014), "Wastewater engineering; treatment, disposal, reuse." 5nd Ed. New York: McGraw-Hill. Chapter 7 pp. 555, 556 and 701
- [15] U.S. Department of Energy. EERE. (1996). "Fact Sheet: Replacing an Oversized and Underloaded Electric Motor," DOE/GO-10096-287. Washington, DC:Energy Efficiency and Renewable Energy.
- [16] Zhang Z., Kusiak A. and Y. Zeng (2012), "Minimizing pump Energy in a Wastewater Procecing Plant". Energy. 47(1), pp. 514- 550.

